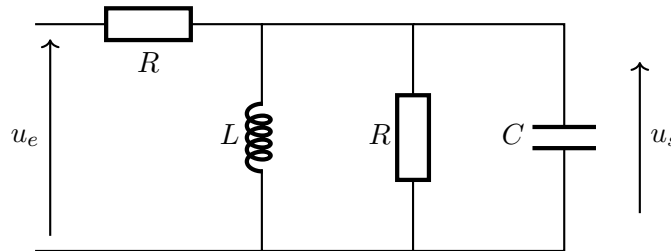


Révisions : Électronique, Thermodynamique

Exercice 1 : Étude paramétrique d'un filtre

On considère le circuit électronique suivant constitué de deux résistors identiques R , d'une bobine d'inductance L et d'un condensateur de capacité C . La tension d'entrée u_e est imposée par l'extérieur et on s'intéresse à la tension de sortie u_s aux bornes du condensateur.



I – Caractérisation du filtre

Q.1 Prévoyez le type de filtrage réalisé par le circuit proposé.

Q.2 Établissez sa fonction de transfert $\underline{H}(j\omega) = \frac{u_s}{u_e}$.

Q.3 Déduisez en les expressions du gain G_0 , du facteur de qualité Q ainsi que de la pulsation propre ω_0 en fonction de R , L et C .

On remplace maintenant la bobine d'inductance L par une autre d'inductance $\frac{L}{\alpha\beta}$ et le condensateur de capacité C par un autre de capacité $C\frac{\alpha}{\beta}$.

Q.4 Exprimez alors les nouvelles expressions du gain G'_0 , du facteur de qualité Q' ainsi que de la pulsation propre ω'_0 en fonction de G_0 , Q , ω_0 , α et β . Quel est l'intérêt des paramètres α et β ?

On choisit ensuite les valeurs de R , L et C telles que $Q = 1$ et $\omega_0 = 2\pi \times 10^3 \text{ rad} \cdot \text{s}^{-1}$.

Q.5 Tracez le digramme de Bode en gain et en phase de ce filtre pour $\beta = 1$ et pour différentes valeurs de α : 0, 1 ; 1 et 10. Les asymptotes devront figurer sur vos courbes.

II – Application du filtre à divers signaux non harmonique

On cherche à étudier la réponse de ce filtre pour des signaux d'entrée de type créneau ou triangulaire. On définit par morceaux les signaux périodiques suivants (période T) :

$$u_c(t) = \begin{cases} E & \text{si } t \in [0, \frac{T}{2}[\\ -E & \text{si } t \in [\frac{T}{2}, T[\end{cases} \quad \text{et} \quad u_t(t) = \begin{cases} -E - 2E\frac{t}{T} & \text{si } t \in [-\frac{T}{2}, 0[\\ -E + 2E\frac{t}{T} & \text{si } t \in [0, \frac{T}{2}[\end{cases}$$

Q.6 Représentez ces signaux sur le même graphique pour plusieurs périodes.

Les coefficients a_n et b_n du développement en série de Fourier d'un signal $s(t)$ de période T sont donnés par les relations suivantes :

$$a_n = \frac{2}{T} \int_{t=0}^T s(t) \cos\left(\frac{2\pi n}{T}t\right) dt \quad \text{et} \quad b_n = \frac{2}{T} \int_{t=0}^T s(t) \sin\left(\frac{2\pi n}{T}t\right) dt$$

- Q.7** Exprimez les coefficients $a_{c,n}$ et $b_{c,n}$ de la décomposition en série de Fourier du signal créneau.
- Q.8** Exprimez ensuite les coefficients $a_{t,n}$ et $b_{t,n}$ de la décomposition en série de Fourier du signal triangulaire.
- Q.9** Dans le cas $\beta = 1$ et $\alpha = 10$. Quelle sera le type du signal de sortie correspondant à un signal créneau d'entrée de fréquence 5 kHz . Votre réponse devra être justifiée à l'aide des réponses aux questions précédentes.
- Q.10** Même question pour un signal triangle de fréquence $f = 500 \text{ Hz}$ avec $\alpha = 500$ et $\beta = 2$.

Exercice 2 : Transformations thermodynamiques

On considère un dispositif expérimental constitué d'un cylindre vertical ouvert dans l'atmosphère, aux parois indéformables, de section S , dans lequel deux pistons de masse et d'épaisseur négligeables peuvent se déplacer librement. Ces deux pistons, notés π_0 et π_1 définissent deux compartiments étanches dans le cylindre. Le piston π_0 est le piston inférieur (cf. figure 1). On utilisera le symbole 0 pour repérer les grandeurs relatives au compartiment inférieur et le symbole 1 pour repérer les grandeurs relatives au compartiment supérieur. On appellera longueur du compartiment 0 la distance qui sépare le fond du cylindre du piston π_0 , et longueur du compartiment 1 la distance qui sépare les deux pistons.

Quelle que soit la nature des fluides contenus dans les compartiments, on supposera qu'à l'équilibre la pression est uniforme dans les compartiments.

On supposera dans toute la suite que les frottements lors du déplacement des pistons sont totalement négligeables du point de vue énergétique.

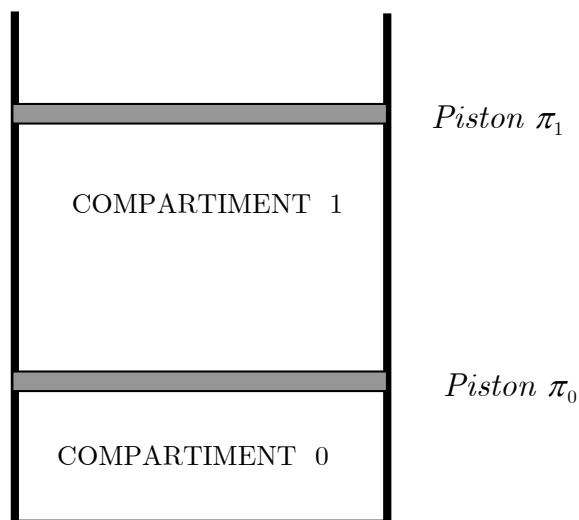


Fig. 1 – Dispositif expérimental

Un mécanisme, non décrit ici, permet de modifier au gré de l'utilisateur, la nature des parois du cylindre et des pistons de la façon suivante :

- Les parois peuvent être calorifugées (interdisant alors les échanges d'énergie sous forme de chaleur).
- Les parois peuvent être rendues perméables à la chaleur.

Par ailleurs un système mécanique permet de bloquer ou de débloquent le mouvement de chacun des pistons sans modifier la géométrie du système.

Le problème est constitué de parties distinctes qui utiliseront toujours ce même dispositif expérimental.

Données générales :

- Section du cylindre : $S = 10^{-2} \text{ m}^2$
- Accélération de la pesanteur : $g = 10 \text{ m} \cdot \text{s}^{-2}$
- La pression atmosphérique est constante et égale à $p_{atm} = 10^5 \text{ Pa}$

1. Étude de différentes transformations subies par un gaz parfait

Pour cette partie de l'étude, le compartiment inférieur contient du dioxygène assimilé à un gaz parfait. Le compartiment supérieur contient du diazote également assimilé à un gaz parfait. Les parois du cylindre et le piston π_1 sont perméables à la chaleur. Le piston π_0 est calorifugé.

Données :

- Rapport de capacités thermiques du dioxygène : $\gamma_0 = 1,4$
- Constante massique du dioxygène : $r_0 = 260 \text{ J} \cdot \text{K}^{-1} \cdot \text{kg}^{-1}$
- Rapport de capacités thermiques du diazote : $\gamma_1 = 1,4$
- Constante massique du diazote : $r_1 = 297 \text{ J} \cdot \text{K}^{-1} \cdot \text{kg}^{-1}$

Remarque : On appelle constante massique d'un gaz parfait le rapport de la constante R des gaz parfait sur la masse molaire du gaz.

1.1 On bloque le piston π_0 . Le piston π_1 peut se déplacer librement. Le dispositif expérimental est alors dans l'état d'équilibre noté A .

Le dioxygène contenu dans le compartiment 0 est caractérisé par une pression $p_A^0 = 10^5 \text{ Pa}$ et une température $T_A^0 = 300 \text{ K}$. La longueur du compartiment 0 est alors $d_A^0 = 0,2 \text{ m}$.

Le diazote contenu dans le compartiment 1 est caractérisé par une pression $p_A^1 = 10^5 \text{ Pa}$ et une température $T_A^1 = 300 \text{ K}$. La longueur du compartiment 1 est alors $d_A^1 = 0,15 \text{ m}$. On place le cylindre au contact d'une source (thermostat) à la température $T_S = 600 \text{ K}$. Chacun des sous-systèmes, constitué par chacun des gaz (repéré comme les compartiments par 0 et 1), atteint un nouvel état d'équilibre (B).

On note T_B^0 , p_B^0 et d_B^0 respectivement la température du dioxygène (gaz 0), la pression du dioxygène et la hauteur du compartiment 0 dans cet état d'équilibre.

De la même façon T_B^1 , p_B^1 et d_B^1 représentent la température du diazote (gaz 1), la pression du diazote et la hauteur du compartiment 1 dans son nouvel état d'équilibre.

- (a) Calculer la masse m_0 de dioxygène contenue dans le compartiment 0 et la masse m_1 de diazote contenue dans le compartiment 1.
- (b) Caractériser la transformation subie par le dioxygène. En déduire T_B^0 , d_B^0 et p_B^0 .
- (c) Caractériser la transformation subie par le diazote. En déduire T_B^1 , d_B^1 et p_B^1 .
- (d) Calculer la quantité d'énergie reçue par transfert mécanique (travail) par le dioxygène ($W_{A \rightarrow B}^0$), et par le diazote ($W_{A \rightarrow B}^1$) au cours de la transformation.
- (e) Calculer la quantité d'énergie reçue par transfert thermique (chaleur) par le dioxygène ($Q_{A \rightarrow B}^0$), et par le diazote ($Q_{A \rightarrow B}^1$) au cours de la transformation.
- (f) Calculer la variation d'entropie ΔS_{AB}^0 pour le dioxygène entre les deux états d'équilibre.
- (g) Calculer la variation d'entropie ΔS_{AB}^1 pour le diazote entre les deux états d'équilibre.
- (h) Calculer l'entropie produite $S_{A \rightarrow B}^p$ au cours de la transformation.

1.2 Les deux sous-systèmes étant chacun dans leur propre état d'équilibre (repéré par l'indice B), on bloque le piston π_1 , puis on débloque le piston π_0 (qui est toujours calorifugé).

Le cylindre est toujours au contact de la source à la température $T_s = 600\text{ K}$.

Chacun des sous-systèmes atteint un nouvel état d'équilibre (C).

On note T_C^0 , p_C^0 et d_C^0 respectivement la température du dioxygène, la pression du dioxygène et la hauteur du compartiment 0 dans son nouvel état d'équilibre.

De la même façon T_C^1 , p_C^1 et d_C^1 représente la température du diazote, la pression du diazote et la hauteur du compartiment 1 dans son nouvel état d'équilibre.

- Que peut-on dire sur les températures T_C^0 et T_C^1 et sur les pressions p_C^0 et p_C^1 du dioxygène et du diazote dans l'état d'équilibre C ?
- Déterminer les longueurs d_C^0 et d_C^1 . En déduire les pressions p_C^0 et p_C^1 .
- Calculer les variations d'énergie interne ΔU_{BC} et d'entropie ΔS_{BC} pour le système (les deux gaz) entre les deux états d'équilibre.
- En déduire l'entropie produite $S_{B \rightarrow C}^p$ au cours de la transformation.

2. Gaz parfait et mélange liquide-vapeur

Dans cette partie de l'étude, l'un des compartiments sera rempli d'eau en équilibre diphasique. Pour mener à bien l'étude il est nécessaire d'établir quelques résultats préliminaires. Ainsi, dans une première partie (travail préparatoire) on propose, moyennant quelques hypothèses, de déterminer une équation qui relie la pression de saturation à la température de saturation pour un fluide en équilibre diphasique. Aucune connaissance spécifique sur ce terrain n'est nécessaire.

La partie suivante s'appuie sur les résultats du travail préparatoire mais ces derniers pourront être utilisés directement s'ils n'ont pu être établis.

- Constante universelle des gaz parfaits : $R = 8,31\text{ J.K}^{-1}\text{mol}^{-1}$
- Masse molaire de l'air : $M_A = 29\text{ g.mol}^{-1}$
- Masse molaire de l'eau : $M_E = 18\text{ g.mol}^{-1}$
- Masse volumique de l'eau liquide : $\rho_l = 1000\text{ kg.m}^{-3}$
- Capacité calorifique massique à volume constant de l'air (supposée constante) : $c_{V,A} = 716\text{ J.kg}^{-1}\text{.K}^{-1}$
- Capacité calorifique massique à pression constante de l'eau sous forme de vapeur (supposée constante) : $c_{p,v} = 1616\text{ J.kg}^{-1}\text{.K}^{-1}$
- Capacité calorifique massique à pression constante de l'eau sous forme de liquide (supposée constante) : $c_{p,l} = 4180\text{ J.kg}^{-1}\text{.K}^{-1}$
- Pression de saturation de l'eau pour une température de $T_0 = 373\text{ K}$: $p_0 = 10^5\text{ Pa}$
- Chaleur latente massique de vaporisation (enthalpie massique de changement d'état) de l'eau à la température 373 K : $l_v(T_0) = 2240\text{ kJ.kg}^{-1}$

2.1 Travail préparatoire

On rappelle que pour un mélange liquide-vapeur à l'équilibre à la température T , la pression de saturation est reliée à la température par la relation de Clapeyron :

$$l_v(T) = T \frac{dp_{sat}}{dT} (v_g - v_l)$$

dans laquelle $l_v(T)$ désigne la chaleur latente massique de vaporisation, égale à la différence des enthalpies massiques de la vapeur à la saturation et du liquide à la saturation.

Le terme $\frac{dp_{sat}}{dT}$ est la dérivée de la pression de saturation par rapport à la température de saturation.

v_g et v_l représentent respectivement, le volume massique de la vapeur à la saturation et du liquide à la saturation pour la température considérée.

On admet que la vapeur d'eau est assimilable à un gaz parfait et que le liquide est parfaitement incompressible.

2.1.1. Donner l'expression du volume massique v_g de la vapeur d'eau à la saturation en fonction de la pression p_{sat} , de la température T , de M_E et de R .

2.1.2. Montrer numériquement que pour des pressions et des températures respectivement voisines de 10^5 Pa et 373 K, le volume massique de l'eau liquide est négligeable devant celui de la vapeur. On fera cette hypothèse pour la suite.

2.1.3. Pour modéliser la dépendance en température de la chaleur latente massique de vaporisation on va considérer qu'un kilogramme d'eau effectue le cycle réversible constitué des transformations suivantes :

- IJ : vaporisation isobare et isotherme (à la pression p_0 et la température T_0) du liquide saturant jusqu'à la vapeur saturante.
- JK : échauffement isobare de la vapeur jusqu'à la température T .
- KL : compression isotherme de la vapeur à la température T jusqu'à l'obtention de vapeur saturante à la pression p_{sat} .
- LM : liquéfaction isobare et isotherme jusqu'à transformation totale du fluide en liquide saturant.
- MI : refroidissement du liquide en suivant la courbe de saturation.

- (a) Représenter le cycle de transformations sur un diagramme de Clapeyron (p, V) en faisant figurer la courbe de saturation.
- (b) Exprimer pour chaque transformation la variation d'enthalpie massique du fluide en utilisant uniquement les grandeurs $l_v(T)$, $l_v(T_0)$, $C_{p,v}$, $C_{p,l}$, T et T_0 . On supposera pour la phase liquide que l'enthalpie ne dépend que de la température.
- (c) En déduire que l'on peut écrire la chaleur latente massique de vaporisation sous la forme $l_v(T) = a + bT$. Donner les expressions de a et b .
- (d) Expliquer pourquoi cette expression est une bonne approximation de la chaleur latente massique de vaporisation uniquement si les températures T et T_0 sont suffisamment éloignées de la température du point critique.

2.1.4. A partir de la relation de Clapeyron et des résultats des trois questions précédentes, trouver une expression analytique de la pression de saturation p_{sat} de l'eau en fonction de la température T et des constantes p_0 , T_0 , a , b , R et M_E .

2.1.5. Montrer que si $T/T_0 \approx 1$ l'expression précédente peut s'approximer par l'équation suivante :

$$p_{sat} \approx p_0 \exp \left[\frac{M_E l_v(T_0)}{R T_0^2} (T - T_0) \right].$$

On utilisera cette expression pour les calculs de la partie suivante.

2.2 Transformation au contact d'un thermostat

Dans cette partie du problème, on admet que les parois du cylindre et les pistons sont perméables à la chaleur.

Le piston π_0 est libre de se déplacer et le piston π_1 est bloqué.

Le compartiment supérieur est rempli d'air et le compartiment inférieur est rempli d'eau. Une partie de l'eau peut être sous forme liquide, le reste sous forme de vapeur. A l'équilibre, on admet que ces deux phases sont parfaitement séparées. On rappelle que l'air et la vapeur d'eau sont assimilables à des gaz parfaits et que le liquide est parfaitement incompressible.

2.2.1. Dans l'état initial d'équilibre noté α , on mesure la température dans un compartiment $T_\alpha = 380\text{K}$, la longueur du compartiment 1 (rempli d'air) $d_\alpha^1 = 0,1\text{m}$ et la longueur du compartiment 0 (rempli d'eau) $d_\alpha^0 = 0,1\text{m}$. Dans le compartiment 0, on note que l'eau est sous forme de liquide et vapeur et que la hauteur d'eau liquide en bas du compartiment vaut $d_{\alpha,l}^0 = 0,002\text{m}$.

- Calculer la pression d'équilibre p_α .
- Calculer la masse d'air m_A contenue dans le compartiment 1.
- Calculer la masse d'eau m_E (liquide+vapeur) contenue dans le compartiment 0.
- Calculer le titre massique de vapeur d'eau x_α (rapport entre la masse d'eau sous forme vapeur et la masse d'eau totale).

2.2.2. Le cylindre est mis au contact d'un thermostat à la température 390K . Le système atteint un nouvel état d'équilibre noté β .

- Montrer que l'eau ne peut pas se trouver sous forme de vapeur sèche (pas d'eau liquide).
- Montrer que l'eau ne peut pas se trouver sous forme de liquide seul (pas d'eau vapeur).
- Calculer la pression d'équilibre p_β .
- Calculer, à l'équilibre, la longueur du compartiment remplie d'air d_β^1 .
- Calculer, à l'équilibre, la masse volumique de la vapeur d'eau.
- Calculer, à l'équilibre, la hauteur de la zone vapeur $d_{\beta,V}^0$ et liquide $d_{\beta,l}^0$ dans le compartiment 0.
- Calculer le titre massique de vapeur d'eau x_β .
- Calculer la variation d'entropie $\Delta S_{\alpha\beta}$ pour le système eau + air.

Fin de l'énoncé